

Sistemas Lineares

Métodos Iterativos Não Estacionários

Lucia Catabriga

Laboratório de Computação de Alto Desempenho (LCAD)
Departamento de Informática
Universidade Federal do Espírito Santo - UFES, Vitória, ES, Brasil

- Introdução
- Método dos Gradientes
- Método dos Gradientes Conjugados
- Método do Resíduo Mínimo Generalizado (GMRES)
- Método das Direções Conjugadas à Esquerda (LCD)
- Precondicionamento

• Características:

- São método diretos na sua essência, mas na prática são usados como métodos iterativos. Portanto, a solução aproximada depende de uma tolerância pré-fixada.
- A matriz dos coeficientes A e o vetor dos termos independentes b não são alterados durante o processo iterativo.
- Dependem de critérios de convergência relacionados a matriz dos coeficientes A .

• Características:

- São método diretos na sua essência, mas na prática são usados como métodos iterativos. Portanto, a solução aproximada depende de uma tolerância pré-fixada.
- A matriz dos coeficientes A e o vetor dos termos independentes b não são alterados durante o processo iterativo.
- Dependem de critérios de convergência relacionados a matriz dos coeficientes A .

• Objetivo:

- Transformar o sistema $Ax = b$ em um problema de minimização do resíduo em cada iteração k

$$\|r_k\|_* = \min \|b - Ax_k\|_*$$

- **Características:**

- São método diretos na sua essência, mas na prática são usados como métodos iterativos. Portanto, a solução aproximada depende de uma tolerância pré-fixada.
- A matriz dos coeficientes A e o vetor dos termos independentes b não são alterados durante o processo iterativo.
- Dependem de critérios de convergência relacionados a matriz dos coeficientes A .

- **Objetivo:**

- Transformar o sistema $Ax = b$ em um problema de minimização do resíduo em cada iteração k
$$\|r_k\|_* = \min \|b - Ax_k\|_*$$

- **Complexidade:** $O(n^2)$ por iteração

• Características:

- São método diretos na sua essência, mas na prática são usados como métodos iterativos. Portanto, a solução aproximada depende de uma tolerância pré-fixada.
- A matriz dos coeficientes A e o vetor dos termos independentes b não são alterados durante o processo iterativo.
- Dependem de critérios de convergência relacionados a matriz dos coeficientes A .

• Objetivo:

- Transformar o sistema $Ax = b$ em um problema de minimização do resíduo em cada iteração k

$$\|r_k\|_* = \min \|b - Ax_k\|_*$$

• Complexidade: $O(n^2)$ por iteração

• Conhecidos como **Métodos baseados nos espaços vetoriais de Krylov**

- Os Métodos baseados nos espaços de Krylov representam a classe de métodos mais usadas em Dinâmica dos Fluidos Computacional.

Ideias Gerais dos Métodos Iterativos Não Estacionários

- Uma aproximação na iteração k é caracterizada por:
 - $x_k = x_0 + z$ é uma solução aproximada de $Ax = b$, onde:
 - $z \in K_k = \text{span}[r_0, Ar_0, A^2r_0, \dots, A^{k-1}r_0]$
 - $z = \sum_{i=1}^k y_i u_i$
 - $r_0 = b - Ax_0$

Ideias Gerais dos Métodos Iterativos Não Estacionários

- Uma aproximação na iteração k é caracterizada por:
 - $x_k = x_0 + z$ é uma solução aproximada de $Ax = b$, onde:
 - $z \in K_k = \text{span}[r_0, Ar_0, A^2r_0, \dots, A^{k-1}r_0]$
 - $z = \sum_{i=1}^k y_i u_i$
 - $r_0 = b - Ax_0$
- Principais operações:
 - Produto Matriz Vetor: $p = Av$ (matvec)
 - Produto Esclar: $r = p^T v$ (dot)
 - Adição de uma constante (a) vezes um vetor com outro vetor:

$$z = z + ax \quad (\text{saxpy})$$

Método dos Gradientes

Dado o sistema $Ax = b$

- A é **simétrica** ($a_{ij} = a_{ji}$) e **definida positiva**
 $(\forall v \neq 0 \in \mathbb{R}^n, v^t Av > 0, \text{ se } v = 0, v^t Av = 0)$
- Seja uma aproximação inicial x_0 , o objetivo principal é reduzir o resíduo $r_k = b - Ax_k$ a partir do resíduo r_0 .
- Para que o resíduo diminua, tomamos uma direção v e corrigimos x_0 nessa direção, ou seja, $x_1 = x_0 + \lambda v$ de forma que $r_1 = b - Ax_1 < r_0$
- Construimos uma sequência x_k convergente para a solução de $Ax = b$, tal que, $r_{k+1} < r_k$.

Método dos Gradientes

Dado o sistema $Ax = b$

- A é simétrica ($a_{ij} = a_{ji}$) e definida positiva
 $(\forall v \neq 0 \in \Re^n, v^t Av > 0, \text{ se } v = 0, v^t Av = 0)$
- Seja uma aproximação inicial x_0 , o objetivo principal é reduzir o resíduo $r_k = b - Ax_k$ a partir do resíduo r_0 .
- Para que o resíduo diminua, tomamos uma direção v e corrigimos x_0 nessa direção, ou seja, $x_1 = x_0 + \lambda v$ de forma que $r_1 = b - Ax_1 < r_0$
- Construimos uma sequência x_k convergente para a solução de $Ax = b$, tal que, $r_{k+1} < r_k$.

Seja a Função Erro $f(x) = \frac{1}{2}r^t A^{-1}r$:

- $\forall r, f \geq 0$ e se x é solução exata $f(x) = 0$
- $f(x) = \frac{1}{2}(b - Ax)^t A^{-1}(b - Ax)$
- $f(x) = \frac{1}{2}x^t Ax - b^t x + c$, onde $c = \frac{1}{2}b^t A^{-1}b$

$$x = \min_{x \in \mathbb{R}^n} f(x)$$

$$Ax = b$$

$$f(x) = \frac{1}{2}x^t Ax - b^t x + c$$

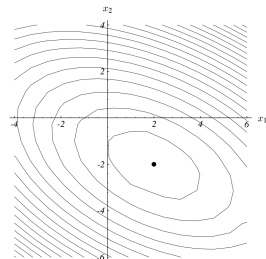
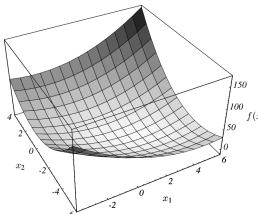
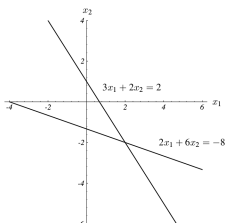
Encontrar a solução de

$$\begin{bmatrix} 3 & 2 \\ 2 & 6 \end{bmatrix} \begin{bmatrix} x_1 \\ x_2 \end{bmatrix} = \begin{bmatrix} 2 \\ -8 \end{bmatrix}, \text{ sendo a sol. exata igual a } \begin{bmatrix} 2 \\ -2 \end{bmatrix}$$

$$\begin{aligned}
 x &= \min_{x \in \mathbb{R}^n} f(x) \\
 Ax &= b \\
 f(x) &= \frac{1}{2} x^t A x - b^t x + c
 \end{aligned}$$

Encontrar a solução de

$$\begin{bmatrix} 3 & 2 \\ 2 & 6 \end{bmatrix} \begin{bmatrix} x_1 \\ x_2 \end{bmatrix} = \begin{bmatrix} 2 \\ -8 \end{bmatrix}, \text{ sendo a sol. exata igual a } \begin{bmatrix} 2 \\ -2 \end{bmatrix}$$



Mínimo de $f(x)$

Afirmção: O ponto de mínimo de $f(x)$ é a solução de $Ax = b$

- O ponto mínimo de $f(x)$ é um ponto crítico, ou seja,
 $f'(x) = \nabla f(x) = 0$

$$f(x) = \frac{1}{2} \sum_{i,j=1}^n a_{ij}x_i x_j - \sum_{i=1}^n b_i x_i + c$$

$$\nabla f(x) = \begin{bmatrix} \frac{\partial f(x)}{\partial x_1} \\ \frac{\partial f(x)}{\partial x_2} \\ \vdots \\ \frac{\partial f(x)}{\partial x_n} \end{bmatrix} = \begin{bmatrix} a_{11}x_1 + a_{12}x_2 + \dots + a_{1n}x_n - b_1 \\ a_{21}x_1 + a_{22}x_2 + \dots + a_{2n}x_n - b_2 \\ \vdots \\ a_{n1}x_1 + a_{n2}x_2 + \dots + a_{nn}x_n - b_n \end{bmatrix} = Ax - b$$

Mínimo de $f(x)$

Afirmção: O ponto de mínimo de $f(x)$ é a solução de $Ax = b$

- O ponto mínimo de $f(x)$ é um ponto crítico, ou seja,
 $f'(x) = \nabla f(x) = 0$

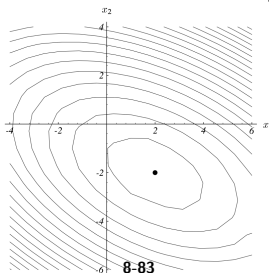
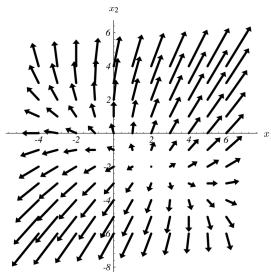
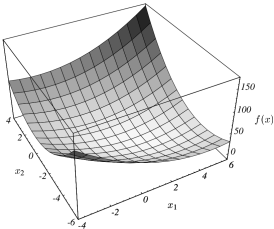
$$f(x) = \frac{1}{2} \sum_{i,j=1}^n a_{ij}x_i x_j - \sum_{i=1}^n b_i x_i + c$$

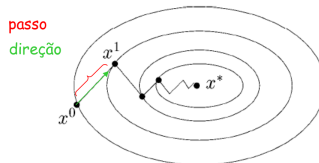
$$\nabla f(x) = \begin{bmatrix} \frac{\partial f(x)}{\partial x_1} \\ \frac{\partial f(x)}{\partial x_2} \\ \vdots \\ \frac{\partial f(x)}{\partial x_n} \end{bmatrix} = \begin{bmatrix} a_{11}x_1 + a_{12}x_2 + \dots + a_{1n}x_n - b_1 \\ a_{21}x_1 + a_{22}x_2 + \dots + a_{2n}x_n - b_2 \\ \vdots \\ a_{n1}x_1 + a_{n2}x_2 + \dots + a_{nn}x_n - b_n \end{bmatrix} = Ax - b$$

- $\nabla f(x) = 0 \Rightarrow Ax - b = 0$

- x é ponto de mínimo, pois $f(x)$ é sempre positiva, uma vez que A é definida positiva.

Direção de crescimento e decrescimento de $f(x)$:
 $\nabla f(x)$ representa a direção de maior crescimento de $f(x)$:



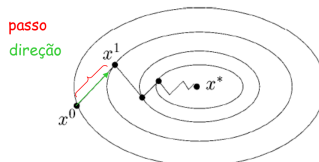


Processo iterativo:

$$x_1 = x_0 + \lambda_1 r_0 \text{ mesma direção de } r_0$$

$$\lambda_1 : \text{ minimiza } f(x) \text{ quando } \frac{\partial f(x_1)}{\partial \lambda_1} = 0$$

Mas



Processo iterativo:

$$\begin{aligned}
 x_1 &= x_0 + \lambda_1 r_0 \text{ mesma direção de } r_0 \\
 \lambda_1 &: \text{ minimiza } f(x) \text{ quando } \frac{\partial f(x_1)}{\partial \lambda_1} = 0
 \end{aligned}$$

Mas

$$\frac{\partial f(x_1)}{\partial \lambda_1} = (f'(x_1))^T \frac{\partial x_1}{\partial \lambda_1} = -r_1^T r_0 = 0$$

Portanto, o passo λ_1 ideal é aquele tal que r_1 é ortogonal a r_0 .
 Assim $r_{i+1}^T r_i = 0 \quad \forall i$

Processo iterativo:

- Cálculo de λ_i :

$$r_{i+1}^T r_i = 0$$

$$(b - Ax_{i+1})^T r_i = 0$$

$$(b - A(x_i + \lambda_i r_i))^T r_i = 0$$

$$r_i^T r_i - \lambda_i r_i^T A r_i = 0$$

$$\lambda_i = \frac{r_i^T r_i}{r_i^T A r_i}$$

Processo iterativo:

- Cálculo de λ_i :

$$\begin{aligned} r_{i+1}^T r_i &= 0 \\ (b - Ax_{i+1})^T r_i &= 0 \\ (b - A(x_i + \lambda_i r_i))^T r_i &= 0 \\ r_i^T r_i - \lambda_i r_i^T Ar_i &= 0 \\ \lambda_i &= \frac{r_i^T r_i}{r_i^T Ar_i} \end{aligned}$$

- Atualização do resíduo:

$$\begin{aligned} x_{i+1} &= x_i + \lambda_i r_i \\ b - Ax_{i+1} &= b - A(x_i + \lambda_i r_i) \\ r_{i+1} &= r_i - \lambda_i Ar_i \end{aligned}$$

Algoritmo do Método dos Gradientes:

Dados $x_0 = 0$, A , b , N_{max} , tol

$$r_0 = b, \delta = \delta_0 = r_0^t r_0 = \|r_0\|_2^2$$

$$i = 0$$

while $\delta > tol^2 \delta_0$ **and** $i \leq N_{max}$ **do**

$$v = Ar_i$$

$$\lambda_i = \frac{\delta}{r_i^t v}$$

$$x_{i+1} = x_i + \lambda_i r_i$$

$$r_{i+1} = r_i - \lambda_i v$$

$$\delta = r_{i+1}^t r_{i+1} = \|r_{i+1}\|_2^2$$

$$i = i + 1$$

end while

A matriz triadiagonal onde $a_{ii} = 10$, $a_{i,i-1} = a_{i,i+1} = 1$, b tal que $x = [1, 1, \dots, 1]$, $tol = 5 \times 10^{-6}$

$$x_0 = \begin{bmatrix} 0 \\ 0 \\ 0 \\ 0 \\ 0 \\ 0 \\ 0 \\ 0 \\ 0 \end{bmatrix} \quad x_1 = \begin{bmatrix} 0.93024 \\ 1.01480 \\ 1.01480 \\ 1.01480 \\ 1.01480 \\ 1.01480 \\ 1.01480 \\ 1.01480 \\ 1.01480 \end{bmatrix} \quad x_2 = \begin{bmatrix} 0.99776 \\ 1.00560 \\ 0.99724 \\ 0.99724 \\ 0.99724 \\ 0.99724 \\ 0.99724 \\ 0.99724 \\ 0.99776 \end{bmatrix} \quad \cdots x_5 = \begin{bmatrix} 0.99999 \\ 1.00002 \\ 0.99999 \\ 1.00002 \\ 1.00001 \\ 1.00001 \\ 1.00002 \\ 0.99999 \\ 1.00002 \end{bmatrix} \quad x_6 = \begin{bmatrix} 1 \\ 1 \\ 1 \\ 1 \\ 1 \\ 1 \\ 1 \\ 1 \\ 1 \end{bmatrix}$$

- $\|x_6\|_\infty = 1.000002$
- $\|r_6\|_\infty = 7.5765 \times 10^{-5}$

Propriedades:

- Dois vetores x e y são conjugados se $x^T A y = y^T A x = 0 \Rightarrow x$ e y são ditos A -ortogonais e linearmente independentes.
- No processo iterativo do método dos gradientes é possível que uma direção considerada na iteração i já tenha sido usada em iterações anteriores.
- O método dos Gradientes Conjugados sugere que, dada uma aproximação inicial x_0 para o sistema $Ax = b$, seja considerado um conjunto de n vetores (direções) conjugados $\{d_0, d_1, \dots, d_{n-1}\}$ tal que $x_n = x_0 + \sum_{i=0}^{n-1} \lambda_i d_i$ é a solução exata de $Ax = b$ a menos de erros de arredondamento.

- Propriedades:

- O resíduo no passo i é ortogonal ao resíduo no passo anterior
 $\Rightarrow r_i^T r_{i-1} = 0$
- O resíduo no passo i é ortogonal à direção conjugada no passo $i \Rightarrow r_i^T d_i = 0$
- O resíduo no passo i é ortogonal à direção conjugada do passo anterior $\Rightarrow r_i^T d_{i-1} = 0$
- A direção conjugada no passo i é ortogonal com relação a A à direção conjugada no passo anterior $\Rightarrow d_i^T A d_{i-1} = 0$

- Propriedades:

- O resíduo no passo i é ortogonal ao resíduo no passo anterior
 $\Rightarrow r_i^T r_{i-1} = 0$
- O resíduo no passo i é ortogonal à direção conjugada no passo $i \Rightarrow r_i^T d_i = 0$
- O resíduo no passo i é ortogonal à direção conjugada do passo anterior $\Rightarrow r_i^T d_{i-1} = 0$
- A direção conjugada no passo i é ortogonal com relação a A à direção conjugada no passo anterior $\Rightarrow d_i^T A d_{i-1} = 0$
- Dado x_0 , seja $d_0 = r_0 = b - Ax_0$
- $x_{i+1} = x_i + \lambda_i d_i$
- $r_{i+1} = r_i - \lambda_i Ad_i$
- Cálculo de λ_i ?
- Cálculo de d_{i+1} ?

- As direções conjugadas satisfazem a relação:

$$d_{i+1} = r_{i+1} + \beta_{i+1} d_i$$

- Cálculo de λ_i

$$\begin{aligned} r_{i+1}^T r_i &= 0 \\ (r_i - \lambda_i A d_i)^T r_i &= 0 \Rightarrow r_i^T r_i - \lambda d_i^T A r_i = 0 \\ \lambda &= \frac{r_i^T r_i}{d_i^T A r_i} \end{aligned}$$

- As direções conjugadas satisfazem a relação:

$$d_{i+1} = r_{i+1} + \beta_{i+1} d_i$$

- Cálculo de λ_i

$$\begin{aligned} r_{i+1}^T r_i &= 0 \\ (r_i - \lambda_i A d_i)^T r_i &= 0 \Rightarrow r_i^T r_i - \lambda d_i^T A r_i = 0 \\ \lambda &= \frac{r_i^T r_i}{d_i^T A r_i} \end{aligned}$$

Mas ...

$$\begin{aligned} d_i &= r_i + \beta_i d_{i-1} \Rightarrow r_i = d_i - \beta_i d_{i-1} \\ d_i^T A r_i &= d_i^T A d_i - \beta_i d_i^T A d_{i-1} \\ d_i^T A r_i &= d_i^T A d_i \quad (\text{Atenção! } r_i \neq d_i) \\ \lambda_i &= \frac{r_i^T r_i}{d_i^T A d_i} \quad \text{ou} \quad \lambda_i = \frac{\|r_i\|_2^2}{d_i^T A d_i} \end{aligned}$$

- Cálculo de β_i :

$$d_{i+1}^T A d_i = 0$$

$$(r_{i+1} + \beta_{i+1} d_i) A d_i = 0$$

$$\beta_{i+1} = -\frac{r_{i+1}^T A d_i}{d_i^T A d_i}$$

Mas,

- Cálculo de β_i :

$$\begin{aligned}
 d_{i+1}^T A d_i &= 0 \\
 (r_{i+1} + \beta_{i+1} d_i) A d_i &= 0 \\
 \beta_{i+1} &= -\frac{r_{i+1}^T A d_i}{d_i^T A d_i}
 \end{aligned}$$

Mas,

$$\begin{aligned}
 A d_i &= -\frac{1}{\lambda_i} (r_{i+1} - r_i) \Rightarrow \beta_{i+1} = -\frac{r_{i+1}^T (r_{i+1} - r_i)}{d_i^T A d_i} \left(-\frac{1}{\lambda_i} \right) \\
 \beta_{i+1} &= \frac{r_{i+1}^T r_{i+1}}{r_i^T r_i} \quad \text{ou} \quad \beta_{i+1} = \frac{\|r_{i+1}\|_2^2}{\|r_i\|_2^2}
 \end{aligned}$$

Algoritmo do Método dos Gradientes Conjugados

Dados $x_0 = 0, A, b$

$$d_0 = r_0 = b$$

for $i = 0, 1, \dots, n - 1$ **do**

$$v = Ad_i$$

$$\lambda_i = \frac{\|r_i\|_2^2}{d_i^t v}$$

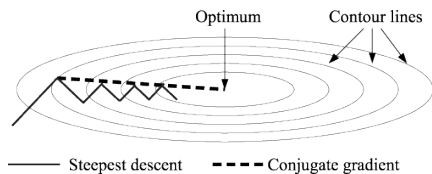
$$x_{i+1} = x_i + \lambda_i d_i$$

$$r_{i+1} = r_i - \lambda_i v$$

$$\beta_{i+1} = \frac{\|r_{i+1}\|_2^2}{\|r_i\|_2^2}$$

$$d_{i+1} = r_{i+1} + \beta_{i+1} d_i$$

end for



Método Direto!!!

A matriz triadiagonal onde $a_{ii} = 10$, $a_{i,i-1} = a_{i,i+1} = 1$, b tal que $x = [1, 1, \dots, 1]$

$$\begin{aligned}
 x_0 &= \begin{bmatrix} 0 \\ 0 \\ 0 \\ 0 \\ 0 \\ 0 \\ 0 \\ 0 \\ 0 \\ 0 \\ 0 \end{bmatrix} & x_1 &= \begin{bmatrix} 0.93024 \\ 1.01480 \\ 1.01480 \\ 1.01480 \\ 1.01480 \\ 1.01480 \\ 1.01480 \\ 1.01480 \\ 1.01480 \\ 1.01480 \\ 0.93024 \end{bmatrix} & x_2 &= \begin{bmatrix} 0.99872 \\ 1.00656 \\ 0.99819 \\ 0.99819 \\ 0.99819 \\ 0.99819 \\ 0.99819 \\ 0.99819 \\ 0.99819 \\ 0.99819 \\ 0.99872 \end{bmatrix} & x_4 &= \begin{bmatrix} 1.00000 \\ 1.00000 \\ 0.99999 \\ 1.00005 \\ 0.99996 \\ 0.99996 \\ 0.99996 \\ 1.00005 \\ 0.99999 \\ 1.00000 \\ 1.00000 \end{bmatrix} & x_5, \dots, x_{10} &= \begin{bmatrix} 1 \\ 1 \\ 1 \\ 1 \\ 1 \\ 1 \\ 1 \\ 1 \\ 1 \\ 1 \end{bmatrix}
 \end{aligned}$$

$$\|r_1\| = 1.0673 \quad \|r_2\| = 0.10069 \quad \|r_3\| = 0.0095837 \quad \|r_4\| = 8.2349 \times 10^{-4}$$

$$\|r_5\| = 9.1184 \times 10^{-19} \quad \dots \quad \|r_{10}\| = 4.2772 \times 10^{-24}$$

$$A = \begin{bmatrix} 4 & 1 & & & \\ 1 & 4 & 1 & & \\ & & \ddots & & \\ & & & 1 & 4 & 1 \\ & & & & 1 & 4 \end{bmatrix} \begin{bmatrix} x_1 \\ x_2 \\ \vdots \\ x_{n-1} \\ x_n \end{bmatrix} = \begin{bmatrix} 5 \\ 6 \\ \vdots \\ 6 \\ 5 \end{bmatrix} \Rightarrow x = \begin{bmatrix} 1 \\ 1 \\ \vdots \\ 1 \\ 1 \end{bmatrix}$$

$$n = 100 \Rightarrow \|x\|_\infty = 1.0, \|r\|_\infty = 1.7764 \times 10^{-15}$$

$$n = 200 \Rightarrow \|x\|_\infty = 1.0, \|r\|_\infty = 1.7764 \times 10^{-15}$$

$$n = 250 \Rightarrow \|x\|_\infty = 1.0, \|r\|_\infty = 2.2204 \times 10^{-15}$$

$$n = 260 \Rightarrow \|x\|_\infty = 1.0, \|r\|_\infty = 2.6645 \times 10^{-15}$$

$$n = 261 \Rightarrow \|x\|_\infty = 1.0, \|r\|_\infty = 1.7764 \times 10^{-15} \text{ (divisão por zero)}$$

$$n = 300 \Rightarrow \|x\|_\infty = 0.0, \|r\|_\infty = 0.0 \text{ (divisão por zero)}$$

Algoritmo do Método Iterativo dos Gradientes Conjugado

Dados $x_0 = 0$, A , b , N_{max} , tol_ϵ

$$d_0 = r_0 = b$$

$$\delta_{new} = \|r_0\|_2^2$$

$$\delta_0 = \delta_{new}$$

$$i = 0$$

while $\delta_{new} > tol_\epsilon^2 \delta_0$ **and** $i \leq N_{max}$ **do**

$$v_i = Ad_i$$

$$\lambda_i = \frac{\delta_{new}}{d_i^T v_i}$$

$$x_{i+1} = x_i + \lambda_i d_i$$

$$r_{i+1} = r_i - \lambda_i v$$

$$\delta_{old} = \delta_{new}$$

$$\delta_{new} = \|r_{i+1}\|_2^2$$

$$\beta_{i+1} = \frac{\delta_{new}}{\delta_{old}}$$

$$d_{i+1} = r_{i+1} + \beta_{i+1} d_i$$

$$i = i + 1$$

end while

Complexidade e Armazenamento do Método dos Gradientes Conjugados:

- i -ésima iteração:
 - Número de operações:
 - 1 matvec
 - 3 saxpy
 - 2 dot
 - Complexidade:
 - $\theta(n^2)$
 - Armazenamento:
 - 3 vetores
 - 1 matriz A

Exemplos - CG (iterativo)

A é diagonal dominante

$$A = \begin{bmatrix} 4 & 1 & & & \\ 1 & 4 & 1 & & \\ & & \ddots & & \\ & & & 1 & 4 & 1 \\ & & & & 1 & 4 \end{bmatrix} \begin{bmatrix} x_1 \\ x_2 \\ \vdots \\ x_{n-1} \\ x_n \end{bmatrix} = \begin{bmatrix} 5 \\ 6 \\ \vdots \\ 6 \\ 5 \end{bmatrix} \Rightarrow x = \begin{bmatrix} 1 \\ 1 \\ \vdots \\ 1 \\ 1 \end{bmatrix}$$

$$n = 300 \Rightarrow tol = 1 \times 10^{-6}, \quad 10 \text{ iterações } \|r\|_\infty = 9.7417 \times 10^{-6}$$

$$n = 300 \Rightarrow tol = 1 \times 10^{-10}, \quad 17 \text{ iterações } \|r\|_\infty = 9.6544 \times 10^{-10}$$

$$n = 600 \Rightarrow tol = 1 \times 10^{-6}, \quad 10 \text{ iterações } \|r\|_\infty = 9.8035 \times 10^{-6}$$

$$n = 600 \Rightarrow tol = 1 \times 10^{-10}, \quad 17 \text{ iterações } \|r\|_\infty = 9.7204 \times 10^{-10}$$



Exemplos - CG (iterativo)

A não é diagonal dominante

$$A = \begin{bmatrix} 2 & 1 & & & \\ 1 & 2 & 1 & & \\ & & \ddots & & \\ & & & 1 & 2 & 1 \\ & & & & 1 & 2 \end{bmatrix} \begin{bmatrix} x_1 \\ x_2 \\ \vdots \\ x_{n-1} \\ x_n \end{bmatrix} = \begin{bmatrix} 3 \\ 4 \\ \vdots \\ 4 \\ 3 \end{bmatrix} \Rightarrow x = \begin{bmatrix} 1 \\ 1 \\ \vdots \\ 1 \\ 1 \end{bmatrix}$$

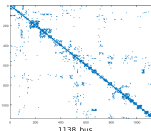
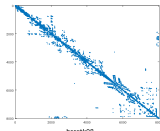
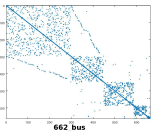
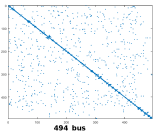
- $n = 300 \Rightarrow tol = 1 \times 10^{-6}, 150$ iterações $\|r\|_\infty = 5.7176 \times 10^{-14}$
- $n = 300 \Rightarrow tol = 1 \times 10^{-10}, 150$ iterações $\|r\|_\infty = 5.7176 \times 10^{-14}$
- $n = 600 \Rightarrow tol = 1 \times 10^{-6}, 300$ iterações $\|r\|_\infty = 1.2124 \times 10^{-13}$
- $n = 600 \Rightarrow tol = 1 \times 10^{-10}, 300$ iterações $\|r\|_\infty = 1.2124 \times 10^{-13}$



Exemplos de Matrizes Esparsas

A matriz Esparsa do Repositório CISE e b tal que

$$x = [1, 1, \dots, 1]^T, \text{ tol} = 10^{-7}$$



A	n	tempo (seg)	N_{iter}	$\ x\ _\infty$	$\text{cond}(A)$
494_bus	494	2.714×10^{-2}	857	1.000925	$2.4154 \times 10^{+6}$
662_bus	662	1.690×10^{-2}	441	1.000094	$7.9413 \times 10^{+5}$
bcsstk08	1074	8.121×10^{-2}	1131	1.097432	$2.5988 \times 10^{+7}$
1138_bus	1138	9.406×10^{-2}	1946	1.000012	$8.5726 \times 10^{+6}$

Gradiente Conjugado no Octave

[x,flag,relres,iter,resvec] = pcg(A,b,tol,maxit)

- A: Matriz dos coeficientes simétrica definida positiva¹;
- b: Vetor dos termos independentes;
- tol: Tolerância relativa;
- maxit: número máximo de iterações;
- x: vetor solução aproximada;
- flag: 0 - convergência atingida; 1 - número máximo de iterações atingido; 3 - estagnação do resíduo
- relres: valor final do resíduo relativo
- iter: número de iterações executadas
- resvec: vetor contendo o resíduo relativo em cada iteração

¹default: armazenamento na estrutura CCR (Compressed Column Sparse)

A é a matriz de onde n

$b = A * \text{ones}(n)$, $\text{tol} = 0.00001$, $\text{maxit} = 10000$

Matriz	n	flag	Número de Iterações	Tempo (seg)
bcsstk01	48	0	31	0.0035
bcsstk15	3948	0	4555	2.0486
Dubcova1	16129	0	83	0.0898
bcircuit	68902	0	9004	21.0656

Definições:

- $x_{i+1} = x_0 + z$ (Solução aproximada de $Ax = b$)
- $\mathcal{K}^m = \text{span}\{u_0, u_1, \dots, u_{m-1}\}$ (Espaço de Busca)
- $\mathcal{L}^m = \text{span}\{w_0, w_1, \dots, w_{m-1}\}$ (Espaço de Restrição)
- $U = [u_0, u_1, \dots, u_{m-1}]$ (base de \mathcal{K}^m)

$$z \in \mathcal{K}^m \Rightarrow z = \sum_{j=0}^{m-1} y_j u_j = [u_0, u_1, \dots, u_{m-1}] \begin{bmatrix} y_0 \\ y_1 \\ \vdots \\ y_{m-1} \end{bmatrix} \quad \text{para } y \in \mathbb{R}^m$$

- $x_{i+1} = x_0 + Uy$ para $y \in \mathcal{L}^m$

A escolha do vetor y define as restrições impostas para avançar no processo iterativo

Os métodos baseados nos espaços de Krylov se diferenciam pela escolha do espaço das restrições

Método do Resíduo Mínimo Generalizado (GMRES) - Ideias Gerais

- Proposto em 1986 por Yousef Saad²
- Descrição:

$$Ax = b \iff \min_{x \in x_0 + \mathcal{K}^k} \|b - Ax\|_2$$

- A solução aproximada $x_k = x_0 + z$
- $z \in \mathcal{K}^k = \text{span}\{r_0, Ar_0, A^2r_0, \dots, A^{k-1}r_0\} = [u_1, u_2, \dots, u_k] = U$
- $z = \sum_{i=1}^k y_i u_i$ ou $z = Uy$ onde $y_i \in \mathbb{R}$ ou $y \in \mathbb{R}^k$
- Próximos Passos:
 - Montagem da base $[U]$
 - Cálculo dos coeficientes y_i

²Yousef Saad and Martin H Schultz. 1986. GMRES: a generalized minimal residual algorithm for solving nonsymmetric linear systems. SIAM J. Sci. Stat. Comput. 7, 3 (July 1986), 856-869.

Montagem da Base Ortonormal de \mathcal{K}^k :

Processo de Gram-Schmidt

$$[r_0, Ar_0, A^2r_0, \dots, A^{k-1}r_0] = [u_1, u_2, \dots, u_k] = U_k$$

$$u_1 = \frac{r_0}{\|r_0\|_2}$$

for $i = 1, \dots, k$ **do**

$$\tilde{u}_{i+1} = Au_i$$

for $j = 1, \dots, i$ **do**

$$\beta_{i+1,j} = \tilde{u}_{i+1}^T u_j$$

$$\tilde{u}_{i+1} = \tilde{u}_{i+1} - \beta_{i+1,j} u_j$$

end for

$$u_{i+1} = \frac{\tilde{u}_{i+1}}{\|\tilde{u}_{i+1}\|_2}$$

end for

O processo de Gram-Schmidt define a Matriz de Hessemberg superior de ordem $(k + 1) \times k$

$$H_k = \begin{bmatrix} \beta_{21} & \beta_{31} & \cdots & \beta_{k1} & \beta_{k+1,1} \\ \|\tilde{u}_2\| & \beta_{32} & \cdots & \beta_{k2} & \beta_{k+1,2} \\ \|\tilde{u}_3\| & & \cdots & \beta_{k3} & \beta_{k+1,3} \\ & \ddots & & \vdots & \vdots \\ & & & \beta_{k,k-1} & \beta_{k+1,k-1} \\ & & & \|\tilde{u}_k\| & \beta_{k+1,k} \\ & & & & \|\tilde{u}_{k+1}\| \end{bmatrix}$$

Pode-se mostrar que:

$$AU_k = U_{k+1}H_k$$

O problema de Minimização em \mathcal{K}^k :

$$z = \sum_{i=1}^k y_i u_i \text{ para } y \in \mathbb{R}^k \text{ e } z \in \mathcal{K}^k$$

$$e = \{\|r_0\|, 0, \dots, 0\}^T \text{ } (k+1 \text{ termos})$$

$$r_0 = U_{k+1}e \text{ } \text{pois } u_1 = \frac{r_0}{\|r_0\|} \text{ e } U_{k+1} \text{ é uma base de } \mathcal{K}^{k+1}$$

$$\begin{aligned} \|b - Ax\| &= \|b - A(x_0 + z)\| = \|b - Ax_0 - A \sum_{i=1}^k y_i u_i\| = \|r_0 - AU_k y\| \\ &= \|U_{k+1}e - U_{k+1}H_k y\| = \|e - H_k y\|, \text{ } \text{pois } \|U_{k+1}\| = 1 \end{aligned}$$

$$\min_{z \in \mathcal{K}^k} \|b - A(x_0 + z)\| = \min_{y \in \mathbb{R}^k} \|e - H_k y\|$$

O problema de minimização em \mathcal{K}^k foi transformado em um problema de minimização em \mathbb{R}^k

GMRES - algoritmo Inicial

Dados $x_0 = 0, A, b, l_{max}, tol$

$$r = b, \rho = \|r\|_2, u_1 = r/\rho$$

$$\epsilon = tol\|b\|_2, k = 1$$

while $\rho > \epsilon$ **and** $k \leq l_{max}$ **do**

$$\tilde{u}_{k+1} = Au_k$$

for $j = 1, \dots, k$ **do**

$$h_{j,k} = \tilde{u}_{k+1}^T u_j$$

$$\tilde{u}_{k+1} = \tilde{u}_{k+1} - h_{j,k} u_j$$

end for

$$h_{k+1,k} = \|\tilde{u}_{k+1}\|_2$$

$$u_{k+1} = \frac{\tilde{u}_{k+1}}{\|\tilde{u}_{k+1}\|_2}$$

$$e = (\|r\|, 0, \dots, 0)^T$$

$$\min_{y \in \mathbb{R}^k} \|e - H_k y\|$$

$$\rho = \|e - H_k y\|$$

$$k = k + 1$$

end while

$$x_k = x_0 + U_k y$$

GMRES - Sistema Linear auxiliar

$$\min_{y \in \mathbb{R}^k} \|e - H_k y\| \Rightarrow H_k y = e$$

$$\begin{bmatrix} h_{11} & h_{12} & \cdots & h_{1,k-1} & h_{1,k} \\ \|\tilde{u}_2\| & h_{22} & \cdots & h_{2,k-1} & h_{2,k} \\ \|\tilde{u}_3\| & \cdots & h_{3,k-1} & h_{3,k} & \\ \ddots & \vdots & \vdots & \vdots & \\ h_{k-1,k-1} & h_{k-1,k} & & & \\ \|\tilde{u}_k\| & h_{k,k} & & & \\ \|\tilde{u}_{k+1}\| & & & & \end{bmatrix} \begin{bmatrix} y_1 \\ y_2 \\ y_3 \\ \vdots \\ y_{k-1} \\ y_k \end{bmatrix} = \begin{bmatrix} \|r_0\| \\ 0 \\ 0 \\ \vdots \\ 0 \\ 0 \\ 0 \end{bmatrix}$$

$$\Rightarrow \bar{H}_k y = \bar{e} \Rightarrow \begin{bmatrix} \bar{h}_{11} & \bar{h}_{12} & \cdots & \bar{h}_{1k} \\ \bar{h}_{22} & \cdots & \bar{h}_{2k} \\ \ddots & \vdots & & \\ \bar{h}_{kk} & & & 0 \end{bmatrix} \begin{bmatrix} y_1 \\ y_2 \\ \vdots \\ y_k \end{bmatrix} = \begin{bmatrix} \bar{e}_1 \\ \bar{e}_2 \\ \vdots \\ \bar{e}_k \\ \bar{e}_{k+1} \end{bmatrix}, \text{ sendo } \bar{e}_{k+1} = \|e - H_k y\|$$

$\bar{H}_k y = \bar{e}$ tem solução única quando $\bar{e}_{k+1} \approx 0$

Cálculo de \bar{H}_k - Algoritmo QR - Rotação de Givens

$$\begin{aligned}\bar{H}_k &= G_k G_{k-1} \cdots G_2 G_1 H_k \\ \bar{e} &= G_k G_{k-1} \cdots G_2 G_1 e\end{aligned}$$

$$G_j = \begin{bmatrix} 1 & \cdots & 0 & 0 & \cdots & 0 \\ \vdots & \ddots & \vdots & \vdots & \cdots & \vdots \\ 0 & \cdots & c_j & s_j & \cdots & 0 \\ 0 & \cdots & -s_j & c_j & \cdots & 0 \\ \vdots & \ddots & \vdots & \vdots & \cdots & \vdots \\ 0 & \cdots & 0 & 0 & \cdots & 1 \end{bmatrix}$$

$$H_k = \begin{bmatrix} h_{11} & h_{12} & \cdots & h_{1,k-1} & h_{1,k} \\ \color{blue}{h_{21}} & h_{22} & \cdots & h_{2,k-1} & h_{2,k} \\ \color{blue}{h_{31}} & \cdots & h_{3,k-1} & h_{3,k} \\ \vdots & \vdots & \vdots & \vdots & \vdots \\ h_{k-1,k-1} & h_{k-1,k} & & & \\ \color{blue}{h_{k,k-1}} & h_{k,k} & & & \\ h_{k+1,k} & & & & \end{bmatrix}$$

$$\begin{aligned}G_j &= G_j(c_j, s_j) \\ r_j &= \sqrt{h_{jj}^2 + h_{j+1,j}^2} \\ c_j &= \frac{h_{jj}}{r_j} \\ s_j &= \frac{h_{j+1,j}}{r_j}\end{aligned}$$

$$G_1 H_k = \begin{bmatrix} c_1 & s_1 & & & & & \\ -s_1 & c_1 & & & & & \\ & & 1 & & & & \\ & & & \ddots & & & \\ & & & & 1 & & \\ & & & & & \ddots & \\ & & & & & & 1 \end{bmatrix} H_k$$

$$= \begin{bmatrix} \bar{h}_{11} & \bar{h}_{12} & \cdots & \bar{h}_{1,k} \\ \bar{h}_{22} & \cdots & \bar{h}_{2,k} \\ \bar{h}_{32} & \cdots & \bar{h}_{3,k} \\ \vdots & \vdots & \vdots & \vdots \\ h_{k+1,k} & & & \end{bmatrix}$$

Dados $x = 0, A, b, l_{max}, tol$

$$\epsilon = tol \|b\|_2, i = 1$$

$$u_i = b, e_i = \|u_i\|_2, u_i = r/e_i, \rho = e_i$$

while $\rho > \epsilon$ **and** $i \leq l_{max}$ **do**

Ortogonalização de Gram-Schmidt

$$\tilde{u}_{i+1} = Au_i$$

for $j = 1, \dots, i$ **do**

$$h_{j,i} = \tilde{u}_{i+1}^T u_j, \tilde{u}_{i+1} = \tilde{u}_{i+1} - h_{j,i} u_i$$

end for

$$h_{i+1,i} = \|\tilde{u}_{i+1}\|_2, u_{i+1} = \frac{\tilde{u}_{i+1}}{h_{i+1,i}}$$

Algoritmo QR

: (descrição ao lado)

$$i = i + 1$$

end while

$$i = i - 1$$

Solução do Sistema Auxiliar

for $j = i, \dots, 1$ **do**

$$y_i = \frac{e_j - \sum_{t=j+1}^i h_{jt} y_t}{h_{jj}}$$

end for

$$x = \sum_{j=1}^i y_j u_j$$

Algoritmo QR

for $j = 1, \dots, i-1$ **do**

$$ji = h_{ji}$$

$$h_{ji} = c_j h_{ji} + s_j h_{j+1,i}$$

$$h_{j+1,i} = -s_j ji + c_j h_{j+1,i}$$

end for

$$r_i = \sqrt{h_{ii}^2 + h_{i+1,i}^2}$$

$$c_i = \frac{h_{ii}}{r_i}$$

$$s_i = \frac{h_{i+1,i}}{r_i}$$

$$h_{ii} = r_i \quad (h_{i+1,i} = 0)$$

$$e_{i+1} = -s_i e_i$$

$$e_i = c_i e_i$$

$$\rho = |e_{i+1}|$$

Complexidade e Armazenamento:

- i -ésima iteração:
 - Número de operações:
 - 1 matvec
 - i saxpy
 - i dot
 - $\approx i^3$ fatoração QR
 - Complexidade:
 - $\theta(i \times n) + \theta(i^3) + \theta(\text{matvec})$, sendo que $\theta(\text{matvec}) \approx n^2$
 - \Rightarrow pode ser maior que $\theta(n^2)$, se $i \approx n$.
 - Armazenamento:
 - i vetores
 - 1 matriz A
 - 1 matriz H_k de ordem $(i+1) \times i$

- Cada iteração do método GMRES é muito custosa \Rightarrow método computacionalmente inviável.
- O processo de reinicialização da base torna o método computacionalmente competitivo.
- Supor tamanho máximo da base igual a 20 vetores:
 - Dados A, b, x_0

$$\begin{aligned} U_{20} &= [u_1, u_2, \dots, u_{20}] \\ y &= [y_1, y_2, \dots, y_{20}]^T \\ x_{20} &= x_0 + \sum_{j=1}^{20} y_j u_i \end{aligned}$$

- Dados A, b, x_{20}

$$\begin{aligned} \bar{U}_{20} &= [\bar{u}_1, \bar{u}_2, \dots, \bar{u}_{20}] \\ y &= [\bar{y}_1, \bar{y}_2, \dots, \bar{y}_{20}]^T \\ x_{40} &= x_{20} + \sum_{j=1}^{20} \bar{y}_j \bar{u}_i \neq x_0 + \sum_{j=1}^{40} y_j u_i \end{aligned}$$

Dados $x = 0, A, b, l_{max}, tol, k$

$$\epsilon = tol\|b\|_2, l = 1$$

repeat

$$i = 1, u_i = b - Ax, e_i = \|u_i\|_2 = \rho,$$

$$u_i = r/e_i$$

while $\rho > \epsilon$ **and** $i < k$ **do**

Ortogonalização de Gram-Schmidt

: (descrição ao lado)

Algoritmo QR

: (descrição ao lado)

$$i = i + 1$$

end while

$$i = i - 1$$

for $j = i, \dots, 1$ **do**

$$y_i = \frac{e_j - \sum_{t=j+1}^i h_{jt} y_t}{h_{ii}}$$

end for

$$x = \sum_{j=1}^i y_j u_j$$

$$l = l + 1$$

until $\rho < \epsilon$ **or** $l \geq l_{max}$

Ortogonalização de Gram-Schmidt

$$\tilde{u}_{i+1} = Au_i$$

for $j = 1, \dots, i$ **do**

$$h_{j,i} = \tilde{u}_{i+1}^T u_j, \tilde{u}_{i+1} = \tilde{u}_{i+1} - h_{j,i} u_j$$

end for

$$h_{i+1,i} = \|\tilde{u}_{i+1}\|_2, u_{i+1} = \frac{\tilde{u}_{i+1}}{h_{i+1,i}}$$

Algoritmo QR

for $j = 1, \dots, i-1$ **do**

$$ji = h_{ji}$$

$$h_{ji} = c_j h_{ji} + s_j h_{j+1,i}$$

$$h_{j+1,i} = -s_j ji + c_j h_{j+1,i}$$

end for

$$r_i = \sqrt{h_{ii}^2 + h_{i+1,i}^2}$$

$$c_i = \frac{h_{ii}}{r_i}$$

$$s_i = \frac{h_{i+1,i}}{r_i}$$

$$h_{ii} = r_i \quad (h_{i+1,i} = 0)$$

$$e_{i+1} = -s_i e_i$$

$$e_i = c_i e_i$$

$$\rho = |e_{i+1}|$$

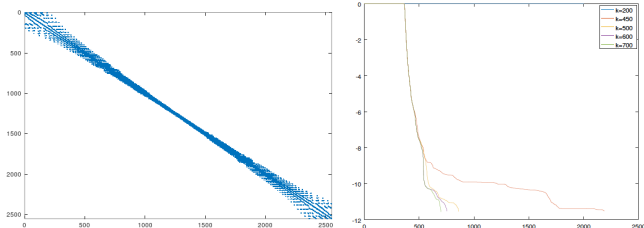
```
[x,flag,relres,iter,resvec] = gmres(A,b,k,rtol,maxit)
```

- A: Matriz dos coeficientes³;
- b: Vetor dos termos independentes;
- k: Número de vetores para o *restart*;
- rtol: Tolerância relativa;
- maxit: número máximo de ciclos;
- x: vetor solução aproximada;
- flag: 0 - convergência atingida; 1 - número máximo de iterações atingido; 3 - estagnação do resíduo
- relres: valor final do resíduo relativo
- iter: vetor contendo o número de ciclos (*iter*(1,1)) e o número de iterações do último ciclo (*iter*(1,2))⁴
- resvec: vetor contendo o resíduo relativo em cada iteração

³default: armazenamento na estrutura CCR (Compressed Column Sparse)

⁴número de iterações gmres é igual a *iter*(1,1)*k+*iter*(1,2)

A é a matriz `cz2548.mat` de ordem $n = 2548$
 $b = A * \text{ones}(2548)$, $\text{tol} = 0.00001$, $\text{maxit} = 10$



Número de vetores na base	flag	Número de Iterações	Tempo (seg)
200	1	2000 (10 ciclos)	7.5686
300	1	3000 (10 ciclos)	20.1890
400	1	4000 (10 ciclos)	43.4056
450	0	2187 (4 ciclos + 387)	28.2763
500	0	861 (1 ciclo + 361)	11.2033
600	0	754 (1 ciclo + 154)	13.8827
700	0	699 (0 ciclos + 699)	20.7482

- Inicialmente apresentado por Yuan, Golub, Plemmmons and Cecílio⁵ (2002→2004).
- Catabriga, Coutinho and Franca (2004)⁶ introduziram restart apresentando comparações com GMRES, Bi-CGSTAB e TFQMR para formulações de elementos finitos.
- Dai and Yuan (2004)⁷ introduziram um novo algoritmo (limitação de memória e 1 produto matriz-vetor) usando formulações de diferenças finitas.
- Catabriga, Valli, Melotti, Pessoa and Coutinho (2006)⁸ avaliaram o novo algoritmo para equações lineares e não lineares usando o método de Newton inexato.

⁵Study on semi-conjugate direction methods.... IJNME, 60:1383-1399

⁶Evaluating the LCD algorithm IJNME, 60:1513-1534

⁷Study on semi-conjugate direction methods IJNME, vol. 60, pp. 1383-1399

⁸Performance of LCD CNME, vol. 22, pp. 643-656

- **Definição:** Os vetores $p_1, p_2, \dots, p_n \in \mathbb{R}^n$ são chamados vetores de direções conjugadas à esquerda (LCD) de uma matriz real não singular A se:

$$p_i^T A p_j = 0 \text{ para } i < j$$

$$p_i^T A p_j \neq 0 \text{ para } i = j$$

↓

$$P^T A P = L, \text{ Matriz triangular inferior}$$

onde $P = [p_1, p_2, \dots, p_n]$

- P é linearmente Independente

$$x \in \mathbb{R}^n \Rightarrow x = x_0 + \sum_{i=1}^n \alpha_i p_i$$

Sejam

- x^* solução exata de $Ax = b$
- x_0 arpoiximação inicial
- $P = [p_1, p_2, \dots, p_n]$ vetores de direções conjugadas à esquerda.

$$x \in \mathbb{R}^n \Rightarrow x = x_0 + \sum_{i=1}^n \alpha_i p_i$$

$$Ax^* = b$$

$$x^* = x_0 + \sum_{i=1}^n \alpha_i p_i$$

$$A(x_0 + \sum_{i=1}^n \alpha_i p_i) = b$$

$$Ax^* = Ax_0 + \sum_{i=1}^n \alpha_i Ap_i$$

$$r = b - Ax^*$$

$$= b - Ax_0 - \sum_{i=1}^n \alpha_i Ap_i$$

$$= r_0 - \sum_{i=1}^n \alpha_i Ap_i$$



Seja x^* solução exata $\Rightarrow r = 0$, portanto r é ortogonal a todo p_i :

$$\forall i = 1, \dots, n, \quad p_i^T r = 0$$

$$p_i^T (r_0 - \sum_{i=1}^n \alpha_i A p_i) = 0$$

$$p_i^T (r_0 - \alpha_1 A p_1 - \alpha_2 A p_2 - \cdots - \alpha_i A p_i - \cdots - \alpha_n A p_n) = 0$$

$$p_i^T (r_0 - \sum_{j=1}^{i-1} \alpha_j A p_j - \alpha_i A p_i - \cdots - \alpha_n A p_n) = 0$$

$$p_i^T r_{i-1} - \alpha_i p_i^T A p_i - \alpha_{i+1} p_i^T A p_{i+1} - \cdots - \alpha_n p_i^T A p_n = 0$$

$$\alpha_i = \frac{p_i^T r_{i-1}}{p_i^T A p_i} \Rightarrow x_i = x_0 + \sum_{k=1}^i \alpha_k p_k \Rightarrow x^* = x_0 + \sum_{k=1}^n \alpha_k p_k$$

Algoritmo Inicial:

Dados $x_0 = 0, A, b, N_{max}, tol$

"Escolha" $[p_1, p_2, \dots, p_n]$

$r_0 = b, \epsilon = tol * \|b\|_2$

$\rho = \|r_0\|_2, i = 1$

while $\rho > \epsilon$ **and** $i \leq N_{max}$ **do**

$v_i = Ap_i$

$\alpha_i = \frac{p_i^T r_{i-1}}{p_i^T v_i}$

$x_i = x_{i-1} + \alpha_i p_i$

$r_i = r_{i-1} - \alpha_i v_i$

$\rho = \|r_i\|_2$

$i = i + 1$

end while

Como obter o conjunto de direções conjugadas à esquerda $[p_1, p_2, \dots, p_n]?$



LCD - Cálculo do conjunto $[p_1, p_2, \dots, p_n]$

É possível demonstrar a existência de uma relação de recorrência entre $[p_1, p_2, \dots, p_i]$ e r_i para calcular p_{i+1} :

$$p_{i+1} = r_i + \sum_{j=1}^k \beta_j p_j$$

Sabendo que:

$$p_j^T A p_{i+1} = 0 \quad \forall j = 1, \dots, i$$

$$\begin{aligned}
 p_{i+1} &= r_i + \beta_1 p_1 + \dots + \beta_i p_i \\
 p_1^T A p_{i+1} &= p_1^T A r_i + p_1^T A \beta_1 p_1 + p_1^T A \beta_2 p_2 + \dots + p_1^T A \beta_i p_i = 0 \\
 p_2^T A p_{i+1} &= p_2^T A r_i + p_2^T A \beta_1 p_1 + p_2^T A \beta_2 p_2 + \dots + p_2^T A \beta_i p_i = 0
 \end{aligned}$$

⋮

$$p_i^T A p_{i+1} = p_i^T A r_i + p_i^T A \beta_1 p_1 + p_i^T A \beta_2 p_2 + \dots + p_i^T A \beta_i p_i = 0$$

Cálculo do conjunto $[p_1, p_2, \dots, p_n]$:

$$\begin{aligned}
 p_1^T p_1 \beta_1 &= -p_1^T A r_k \\
 + p_2^T A p_1 \beta_1 + p_2^T A p_2 \beta_2 &= -p_2^T A r_i \\
 &\vdots \\
 p_i^T A p_1 \beta_1 + p_i^T A p_2 \beta_2 + \cdots + p_i^T A p_i \beta_i &= -p_i^T A r_i
 \end{aligned}$$

$$\begin{bmatrix} p_1^T A p_1 & & & \\ p_2^T A p_1 & p_2^T A p_2 & & \\ \vdots & \vdots & \ddots & \\ p_i^T A p_1 & p_i^T A p_2 & \cdots & p_i^T A p_i \end{bmatrix} \begin{bmatrix} \beta_1 \\ \beta_2 \\ \vdots \\ \beta_i \end{bmatrix} = \begin{bmatrix} -p_1^T A r_i \\ -p_2^T A r_i \\ \vdots \\ -p_i^T A r_i \end{bmatrix}$$

Sendo p_1 escolhido tal que $p_1^T A p_1 \neq 0$

Escolha conveniente: $p_1 = r_0$

Cálculo do conjunto $[p_1, p_2, \dots, p_n]$:

Seja $p_{i+1} = r_i$

$$\beta_1 = -\frac{p_1^T A p_{i+1}}{p_1^T A p_1}$$

$$p_{i+1} = p_{i+1} + \beta_1 p_1$$

$$\beta_2 = -\frac{p_2^T A r_i + p_2^T A \beta_1 p_1}{p_2^T A p_2} = -\frac{p_2^T A p_{i+1}}{p_2^T A p_2}$$

$$p_{i+1} = p_{i+1} + \beta_2 p_2$$

$$\beta_3 = -\frac{p_3^T A (r_i + \beta_1 p_1 + \beta_2 p_2)}{p_3^T A p_3}$$

⋮

$$p_{i+1} = p_{i+1} + \beta_{i-1} p_{i-1}$$

$$\beta_i = -\frac{p_i^T A p_{i+1}}{p_i^T A p_i}$$

$$p_{i+1} = p_{i+1} + \beta_i p_i$$

Cálculo de p_{i+1} ,
supondo conhecidos

p_1, p_2, \dots, p_i :

$$p_{i+1} = r_i$$

for $j = 1, \dots, i$ **do**

$$\beta_j = -\frac{p_j^T A p_{i+1}}{p_j^T A p_j}$$

$$p_{i+1} = p_{i+1} + \beta_j p_j$$

end for

Algoritmo (versão p):

Dados $x_0 = 0, A, b, N_{max}, tol$

$$r_0 = b, \rho = \|r_0\|_2$$

"Escolha" p_1 tal que $p_1^T A p_1 \neq 0$ ($p_1 = r_0$)

$$\epsilon = tol * \|b\|_2, i = 1$$

while $\rho > \epsilon$ **and** $i \leq N_{max}$ **do**

$$v_i = Ap_i$$

$$\alpha_i = \frac{p_i^T r_{i-1}}{p_i^T v_i}$$

$$x_i = x_{i-1} + \alpha_i p_i$$

$$r_i = r_{i-1} - \alpha_i v_i$$

$$p_{i+1} = r_i$$

for $j = 1, \dots, i$ **do**

$$\beta_j = -\frac{p_j^T A p_{i+1}}{p_j^T v_j}$$

$$p_{i+1} = p_{i+1} + \beta_j p_j$$

end for

$$\rho = \|r_i\|_2$$

$$i = i + 1$$

end while

Em cada iteração i são necessários $i + 1$ produtos matriz-vetor!!!
 Algoritmo Ineficiente!!!

Algoritmo (versão pq):

Supor $q_i = Ap_i$, então $\alpha_i = \frac{p_i^T r_{i-1}}{p_i^T q_i}$

Inicializando o loop de cálculo de p_{i+1} com $q_{i+1} = Ap_{i+1}$ tem-se:

$$\beta_j = -\frac{p_j^T q_{i+1}}{p_j^T q_j}$$

$$p_{i+1} = p_{i+1} + \beta_j p_j$$

$$Ap_{i+1} = Ap_{i+1} + \beta_j Ap_j$$

$$q_{i+1} = q_{i+1} + \beta_j q_j$$

Algoritmo (versão pq):

Dados $x_0 = 0$, A , b , N_{max} , tol

$$r_0 = b, \rho = \|r_0\|_2, \epsilon = tol * \|b\|_2$$

"Escolha" p_1 tal que $p_1^T A p_1 \neq 0$ ($p_1 = r_0$)

$$q_1 = Ap_1, i = 1$$

while $\rho > \epsilon$ **and** $i \leq N_{max}$ **do**

$$\alpha_i = \frac{p_i^T r_{i-1}}{p_i^T q_i}$$

$$x_i = x_{i-1} + \alpha_i p_i$$

$$r_i = r_{i-1} - \alpha_i v_i$$

$$p_{i+1} = r_i, q_{i+1} = Ap_{i+1}$$

for $j = 1, \dots, i$ **do**

$$\beta_j = -\frac{p_j^T q_{i+1}}{p_j^T q_j}$$

$$p_{i+1} = p_{i+1} + \beta_j p_j$$

$$q_{i+1} = q_{i+1} + \beta_j q_j$$

end for

$$\rho = \|r_i\|_2$$

$$i = i + 1$$

end while

Complexidade e Armazenamento do Método LCD:

- i -ésima iteração:
 - Número de operações:
 - 1 matvec
 - $2i + 2$ saxpy
 - $2i + 2$ dot
 - Complexidade:
 - $\theta((i \times n) + \theta(i^2) + \theta(\text{matvec}))$, sendo que $\theta(\text{matvec}) \approx n^2$
 - \Rightarrow será tanto maior quanto maior for i .
 - Armazenamento:
 - $2i$ vetores
 - 1 matriz A

Algoritmo (versão pq) com restart:

Dados $x_0 = 0$, A , b , tol , l_{max} , k

$$r = b, \rho = \|r\|_2, \epsilon = tol * \|b\|_2; l = 1$$

"Escolha" p_1 tal que $p_1^T A p_1 \neq 0$ ($p_1 = r$)

repeat

$$q_1 = Ap_1, i = 1$$

while $\rho > \epsilon$ **and** $i \leq k$ **do**

$$\alpha_i = \frac{p_i^T r}{p_i^T q_i}$$

$$x = x + \alpha_i p_i, r = r - \alpha_i v_i$$

$$p_{i+1} = r_i, q_{i+1} = Ap_{i+1}$$

for $j = 1, \dots, i$ **do**

$$\beta_j = -\frac{p_j^T q_{i+1}}{p_j^T q_j}$$

$$p_{i+1} = p_{i+1} + \beta_j p_j, q_{i+1} = q_{i+1} + \beta_j q_j$$

end for

$$\rho = \|r\|_2, i = i + 1$$

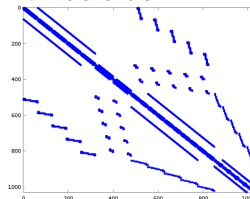
end while

$$p_1 = r \text{ (ou } p_1 = p_{i+1}), l = l + 1$$

until $\rho \leq \epsilon$ **or** $l > l_{max}$

LCD × GMRES - Exemplo - orsirr1.mtx

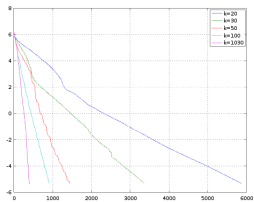
A é a matriz `orsirr1.mtx` de ordem $n = 1030$



$$b = A * \text{ones}(1030), \text{ tol} = 0.00001$$

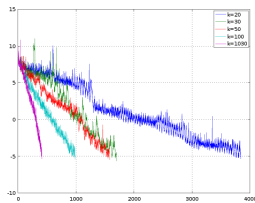
k	$GMRES(k)_{\text{iter}}$	$\text{tempo}_{GMRES(k)}(\text{seg})$	$LCD(k)_{\text{iter}}$	$\text{tempo}_{LCD(k)}(\text{seg})$
20	5872	7.57	3838	3.51
30	3375	4.92	1699	1.95
50	1441	3.17	1581	2.64
100	911	3.63	983	2.90
1030	396	5.69	410	4.61

OBS: Código em octave sem otimizações



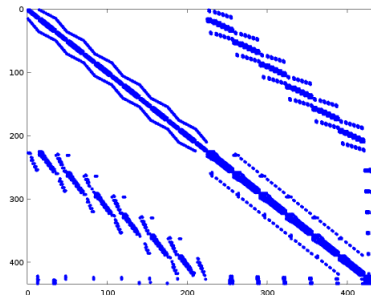
$GMRES - \text{iter} \times \log(\|r\|)$

OBS: Lembrar que os critérios de parada dos métodos LCD e
GMRES são diferentes!



$LCD - \text{iter} \times \log(\|r\|)$

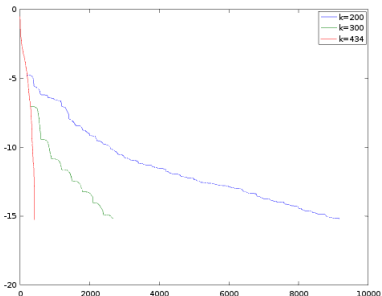
A é a matriz hor131.mtx de ordem $n = 434$



$$b = A * \text{ones}(434), \text{ tol} = 0.0000001$$

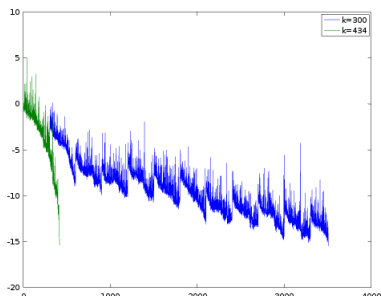
k	$GMRES(k)_{iter}$	$\text{tempo}_{GMRES(k)}(\text{seg})$	$LCD(k)_{iter}$	$\text{tempo}_{LCD(k)}(\text{seg})$
100	†			
200	9173	67.13		
300	2670	27.88	3506	
434	416	6.14	417	25.57
				4.29

OBS: Código em octave sem otimizações



$GMRES - iter \times \log(\|r\|)$

OBS: Lembrar que os critérios de parada dos métodos LCD e
GMRES são diferentes!



$LCD - iter \times \log(\|r\|)$

Ideia Geral:

- **Objetivo:**
Acelerar a convergência dos métodos iterativos.
- Dado o sistema $Ax = b$, encontrar uma matrix M (ou matrizes M e N) tal que:

$$M^{-1}Ax = M^{-1}b \text{ ou}$$

$$AN^{-1}y = b, \text{ onde } x = N^{-1}y \text{ ou}$$

$$M^{-1}AN^{-1}y = M^{-1}b, \text{ onde } x = N^{-1}y$$

- M é denominada matriz precondicionadora.
- M deve ser uma boa aproximação de A .
- A matriz resultante $\tilde{A} = M^{-1}A$ ou $\tilde{A} = AN^{-1}$ ou $\tilde{A} = M^{-1}AN^{-1}$ não é calculada explicitamente, mas **sua ação é executada no produto matriz vetor** durante o processo iterativo.

Fatoração Jacobi, Seidel e SOR:

Seja $A = L + D + U$, onde:

- L é a parte estritamente inferior de A ,
- U é a parte estritamente superior de A .
- D é a diagonal de A .

Fatoração Jacobi:

$$x_{k+1} = G_J x_k + f$$

onde

$$\begin{aligned} G_J &= -D^{-1}(L + U) = I - D^{-1}A \\ f &= D^{-1}b \end{aligned}$$

Fatoração Seidel:

$$x_{k+1} = G_S x_k + f$$

onde

$$\begin{aligned} G_S &= -(D + L)^{-1}U = I - (D + L)^{-1}A \\ f &= (D + L)^{-1}b \end{aligned}$$

Seja $A = M - N$:

Supor $x_{k+1} = M^{-1}Nx_k + M^{-1}b$

- $G = M^{-1}(M - A) = I - M^{-1}A$
- Jacobi: $M = D$ e $N = D - A$
- Seidel: $M = D + L$ e $N = M - A$

$$\begin{aligned}
 x_{k+1} &= Gx_k + f \\
 &\Downarrow \\
 (I - G)x &= f \\
 G &= I - M^{-1}A \\
 M^{-1}Ax &= M^{-1}b
 \end{aligned}$$

$$M_J = D \quad \text{Precondicionador Jacobi}$$

$$M_{SSOR} = (D + wL)D^{-1}(D + wU) \quad \text{Precondicionador SOR}$$

$$M_S = (D + L)D^{-1}(D + U), \quad \text{Precondicionador Seidel } (w = 1)$$

Sendo $\bar{L} = (D + L)D^{-1}$ e $\bar{U} = (D + U)$

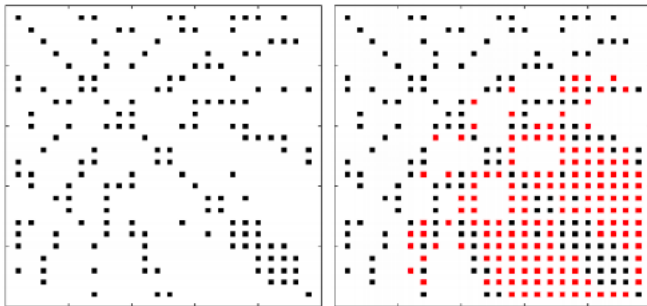
$$M_S = \bar{L}\bar{U}$$

$$\bar{L} = (D + L)D^{-1} = I + LD^{-1}$$

$$\bar{U} = D + U$$

OBS: Não requer armazenamento extra!

Fatoração LU Incompleta: A fatoração LU prevê preenchimento de posições originalmente nulas da matriz original A :



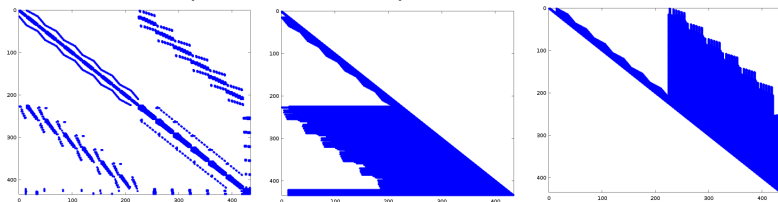
Fill-in = 156

O número de posições preenchidas é denominada *fill-in*.

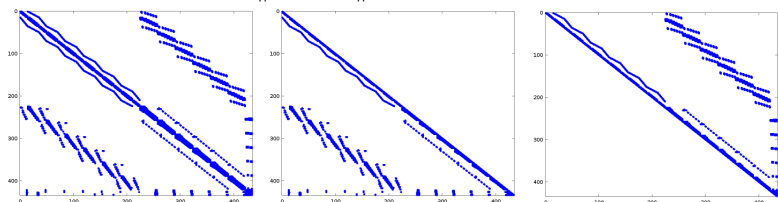
Operação básica: $a_{ij} = a_{ij} + m_{ik}a_{kj}$

- A fatoração incompleta $ILU(k)$ descarta preenchimento de posições originalmente nulas da matriz original A a partir da $(k + 1)$ -ésima etapa da fatoração.
- A fatoração incompleta $ILU(0)$ não prevê preenchimento de posições originalmente nulas da matriz original A .
- Os fatores \tilde{L} e \tilde{U} resultante da fatoração $ILU(k)$ são tais que: $\tilde{L}\tilde{U} \neq A$.
- O precondicionador $ILU(k)$ é definido por $M = \tilde{L}\tilde{U}$.
- O precondicionador $ILU(k)$ requer armazenamento extra da matriz M .

Fatoração LU × Fatoração ILU - hor131 mtx:



Fatoração $LU - n = 434 - nnz(A) = 4182 - nnz(L + U) = 94985 -$
 $\|LU - A\| = 1.5 \times 10^{-16}$



Fatoração $ILU(0) - n = 434 - nnz(A) = 4182 - nnz(L + U) = 4182 -$
 $\|\tilde{L}\tilde{U} - A\| = 6.0 \times 10^{-2}$

$$Ax = b \Rightarrow M^{-1}Ax = M^{-1}b \Rightarrow \tilde{A}x = \tilde{b}$$

- M^{-1} não é calculada.
- O produto $M^{-1}A$ não é calculado explicitamente.
- A ação do precondicionador se dá durante o processo iterativo quando for necessário executar operações com \tilde{A} e \tilde{b} :

No início do algoritmo: $\tilde{b} = M^{-1}b \Rightarrow M\tilde{b} = b$

Em toda iteração: $p = \tilde{A}u \Rightarrow p = M^{-1}Au$

$$(1) \quad z = Au$$

$$(2) \quad p = M^{-1}z \Rightarrow Mp = z$$

- O precondicionador será tão mais eficiente quanto mais eficiente e trivial for a solução dos sistemas $M\tilde{b} = b$ e $Mp = z$.

Ação do Precondicionador M_J :

$$M_J = D$$

No início do algoritmo: $\tilde{b} = D^{-1}b \Rightarrow \tilde{b}_i = \frac{b_i}{a_{ii}}$

Em toda iteração: $p = \tilde{A}u \Rightarrow p = D^{-1}Au$

$$(1) \quad z = Au$$

$$(2) \quad p = D^{-1}z \Rightarrow p_i = \frac{z_i}{a_{ii}}$$

Ação do Precondicionador M_S (M_{SSOR} para $w = 1$):

$$\begin{aligned}
 M_S &= (D + L)D^{-1}(D + U) \text{ ou} \\
 &= (I + LD^{-1})(D + U) = \bar{L}\bar{U}
 \end{aligned}$$

No início do algoritmo:

$$\begin{aligned}
 \tilde{b} &= (\bar{L}\bar{U})^{-1}b \Rightarrow \bar{L}\bar{U}\tilde{b} = b \\
 (1) \quad \bar{L}z &= b \\
 (2) \quad \bar{U}\tilde{b} &= z
 \end{aligned}$$

Em toda iteração:

$$\begin{aligned}
 p &= \tilde{A}u \Rightarrow p = (\bar{L}\bar{U})^{-1}Au \\
 (1) \quad z &= Au \\
 (2) \quad p &= (\bar{L}\bar{U})^{-1}z \Rightarrow \bar{L}\bar{U}p = z \\
 (2.1) \quad \bar{L}v &= z \\
 (2.2) \quad \bar{U}p &= v
 \end{aligned}$$

- ⇒ Resolver sistemas triangulares triviais em cada iteração
- ⇒ Não há armazenamento extra

Ação do Precondicionador M_S (M_{SSOR} para $w = 1$)

$$\bar{L}v = z \Rightarrow \begin{bmatrix} 1 & & & & \\ \frac{a_{21}}{a_{22}} & 1 & & & \\ \frac{a_{31}}{a_{33}} & \frac{a_{32}}{a_{33}} & 1 & & \\ \vdots & \vdots & \vdots & \ddots & \\ \frac{a_{n1}}{a_{nn}} & \frac{a_{n2}}{a_{nn}} & \frac{a_{n1}}{a_{nn}} & \cdots & 1 \end{bmatrix} \begin{bmatrix} v_1 \\ v_2 \\ v_3 \\ \vdots \\ v_n \end{bmatrix} = \begin{bmatrix} z_1 \\ z_2 \\ z_3 \\ \vdots \\ z_n \end{bmatrix} \Rightarrow v_i = z_i - \sum_{j=1}^{i-1} \frac{a_{ij}}{a_{ii}} v_j$$

$$\bar{U}p = v \Rightarrow \begin{bmatrix} a_{11} & a_{12} & a_{13} & \cdots & a_{1n} \\ a_{22} & a_{23} & \cdots & a_{2n} \\ a_{33} & \cdots & a_{3n} \\ \ddots & & \vdots \\ a_{nn} \end{bmatrix} \begin{bmatrix} p_1 \\ p_2 \\ p_3 \\ \vdots \\ p_n \end{bmatrix} = \begin{bmatrix} v_1 \\ v_2 \\ v_3 \\ \vdots \\ v_n \end{bmatrix}$$

$$\Rightarrow p_i = \left(v_i - \sum_{j=i+1}^n a_{ij} p_j \right) / a_{ii}$$

Ação do Precondicionador $ILU(k)$:

$$M = \tilde{L}\tilde{U}$$

No início do algoritmo: $\tilde{b} = (\tilde{L}\tilde{U})^{-1}b \Rightarrow \tilde{L}\tilde{U}\tilde{b} = b$

$$(1) \quad \tilde{L}z = b$$

$$(2) \quad \tilde{U}\tilde{b} = z$$

Em toda iteração: $p = \tilde{A}u \Rightarrow p = (\tilde{L}\tilde{U})^{-1}Au$

$$(1) \quad z = Au$$

$$(2) \quad p = (\tilde{L}\tilde{U})^{-1}z \Rightarrow \tilde{L}\tilde{U}p = z$$

$$(2.1) \quad \tilde{L}v = z$$

$$(2.2) \quad \tilde{U}p = v$$

- ⇒ Resolver sistemas triangulares triviais em cada iteração
- ⇒ Armazenamento extra dos coeficientes de \tilde{L} e \tilde{U} em M .

Ação do Precondicionador $ILU(k)$:

$$\tilde{L}v = z \Rightarrow \begin{bmatrix} 1 & & & & \\ m_{21} & 1 & & & \\ m_{21} & m_{22} & 1 & & \\ \vdots & \vdots & \vdots & \ddots & \\ m_{n1} & m_{n2} & m_{n3} & \cdots & 1 \end{bmatrix} \begin{bmatrix} v_1 \\ v_2 \\ v_3 \\ \vdots \\ v_n \end{bmatrix} = \begin{bmatrix} z_1 \\ z_2 \\ z_3 \\ \vdots \\ z_n \end{bmatrix} \Rightarrow v_i = z_i - \sum_{j=1}^{i-1} m_{ij} v_j$$

$$\tilde{U}p = v \Rightarrow \begin{bmatrix} m_{11} & m_{12} & m_{13} & \cdots & m_{1n} \\ m_{22} & m_{23} & \cdots & m_{2n} \\ m_{33} & \cdots & m_{3n} \\ \ddots & \vdots & \\ m_{nn} \end{bmatrix} \begin{bmatrix} p_1 \\ p_2 \\ p_3 \\ \vdots \\ p_n \end{bmatrix} = \begin{bmatrix} v_1 \\ v_2 \\ v_3 \\ \vdots \\ v_n \end{bmatrix}$$

$$\Rightarrow p_i = \left(v_i - \sum_{j=i+1}^n m_{ij} p_j \right) / m_{ii}$$

Dados $x = 0, A, b, M, l_{max}, tol, k$

$$\epsilon = tol \|M^{-1}b\|_2, l = 1$$

repeat

$$i = 1, u_i = M^{-1}(b - Ax),$$

$$e_i = \|u_i\|_2 = \rho, u_i = r/e_i$$

while $\rho > \epsilon$ **and** $i < k$ **do**

Ortogonalização de Gram-Schmidt

: (descrição ao lado)

Algoritmo QR

: (descrição ao lado)

$$i = i + 1$$

end while

$$i = i - 1$$

for $j = i, \dots, 1$ **do**

$$y_i = \frac{e_j - \sum_{t=j+1}^i h_{jt} y_t}{h_{ii}}$$

end for

$$x = \sum_{j=1}^i y_j u_j$$

$$l = l + 1$$

until $\rho < \epsilon$ **or** $l \geq l_{max}$

Ortogonalização de Gram-Schmidt

$$\tilde{u}_{i+1} = M^{-1}Au_i$$

for $j = 1, \dots, i$ **do**

$$h_{j,i} = \tilde{u}_{i+1}^T u_j, \tilde{u}_{i+1} = \tilde{u}_{i+1} - h_{j,i} u_j$$

end for

$$h_{i+1,i} = \|\tilde{u}_{i+1}\|_2, u_{i+1} = \frac{\tilde{u}_{i+1}}{h_{i+1,i}}$$

Algoritmo QR

for $j = 1, \dots, i-1$ **do**

$$ji = h_{ji}$$

$$h_{ji} = c_j h_{ji} + s_j h_{j+1,i}$$

$$h_{j+1,i} = -s_j ji + c_j h_{j+1,i}$$

end for

$$r_i = \sqrt{h_{ii}^2 + h_{i+1,i}^2}$$

$$c_i = \frac{h_{ii}}{r_i}$$

$$s_i = \frac{h_{i+1,i}}{r_i}$$

$$h_{ii} = r_i \quad (h_{i+1,i} = 0)$$

$$e_{i+1} = -s_i e_i$$

$$e_i = c_i e_i$$

$$\rho = |e_{i+1}|$$

Reordenamento de linhas e colunas de sistemas lineares:

- O preenchimento representa um fator limitante a eficiência dos precondicionadores $ILU(k)$ quando k cresce.
- O **Reordenamento** é usado para reduzir o preenchimento causado pelo precondicionador $ILU(k)$, para $k > 0$.

$$\begin{pmatrix} \times & \times & \times & \times & \times \\ \times & \times \\ \times & & \times \\ \times & & & \times \\ \times & & & & \times \end{pmatrix}$$

(a)

$$\begin{pmatrix} \times & \times & \times & \times & \times \\ \times & \times & \blacksquare & \blacksquare & \blacksquare \\ \times & \blacksquare & \times & \blacksquare & \blacksquare \\ \times & \blacksquare & \times & \times & \blacksquare \\ \times & \blacksquare & \blacksquare & \times & \times \end{pmatrix}$$

(b)

$$\begin{pmatrix} \times & & & \times \\ & \times & & \times \\ & & \times & \times \\ & & & \times & \times \\ \times & \times & \times & \times & \times \end{pmatrix}$$

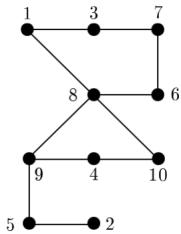
(c)

$$\begin{pmatrix} \times & & & \times \\ & \times & & \times \\ & & \times & \times \\ & & & \times & \times \\ \times & \times & \times & \times & \times \end{pmatrix}$$

(d)

- Consequentemente o tempo de CPU é reduzido

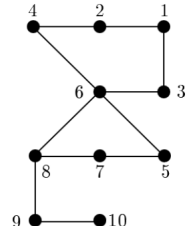
Rerrotulação de Grafos × Matriz de Adjacência:



(a) Grafo $G1$



(b) Matriz de Adjacência $M1$ de $G1$



Métricas para $M1$:
 $banda = 7$
 $Envelope = 27$
 $Fill - in = 34$

Métricas para $M2$:
 $banda = 3$
 $Envelope = 14$
 $Fill - in = 6$

Algoritmos de Reordenamento:

- Ideia Principal:

$$Ax = b \Rightarrow PAP^T Px = Pb \quad (1)$$

onde P é uma matriz de permutação.

- Exemplos de Algoritmos:

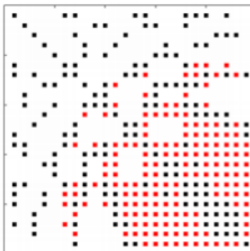
- Reverse Cuthill MacKee (RCM)⁹: rotula os vértices de maneira que os nós adjacentes recebam rótulos da forma mais ordenada possível.
- Sloan: funciona atribuindo estados a cada vértice: inativo, ativo, pós-ativo.
- Espectral¹⁰: o novo reordenamento é calculado a partir da permutação do vetor de autovetores associado ao segundo menor autovalor (vetor de Fiedler - conectividade algébrica) da matriz laplaciana associada ao grafo.
- Nested Dissection¹¹: baseado em vértices separadores.

⁹Cuthill and McKee (1969), George (1971), George and Liu (1979)

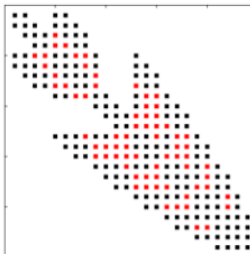
¹⁰Barnard, Pothen, Simon(1993)

¹¹George (1973)

Reordenamento: Efeito do Reordenamento RCM



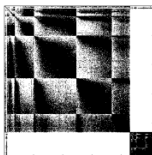
Fill-in = 156



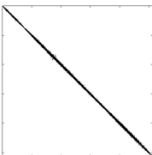
Fill-in = 70

Exemplo Precondicionador ILU(k) - Matriz thermomech_TK:

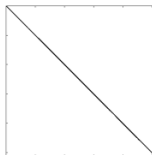
$n = 102158, nnz = 711558$



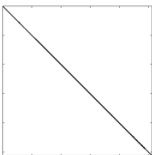
(a) Original



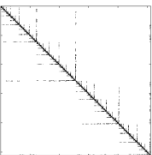
(b) SLOAN



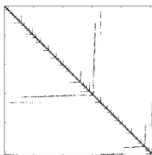
(c) RCM



(d) ESPECTRAL



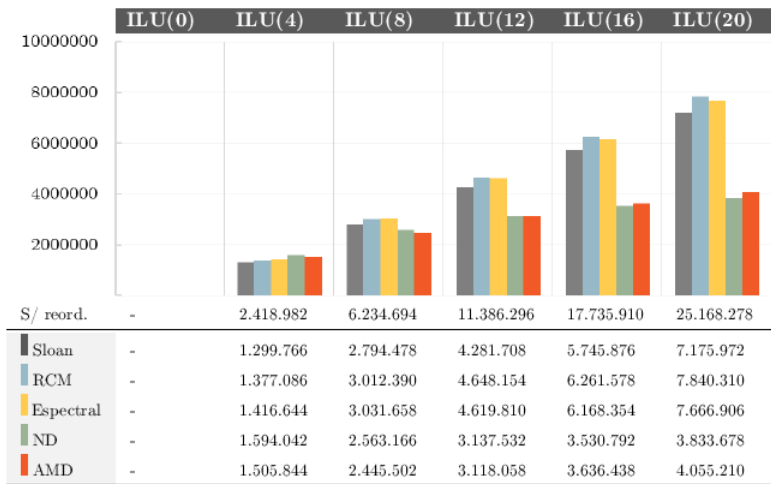
(e) ND



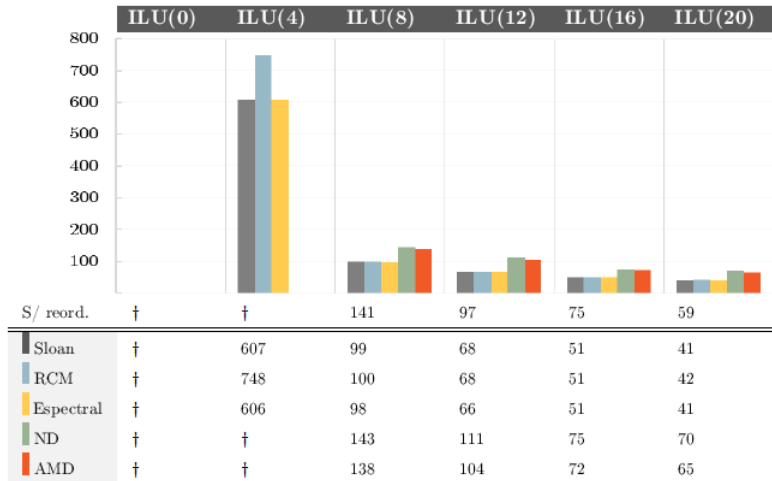
(f) AMD

	env(.,)	lb(.,)	Tempo de CPU
Original	2.667.823.445	102.138	-
Sloan	16.072.717	676	2.112
RCM	17.882.411	253	0.581
Espectral	14.635.485	389	2.738
ND	-	-	0.863
AMD	-	-	0.192

Precondicionador ILU(k) - Matriz thermomech_TK - GMRES(150)

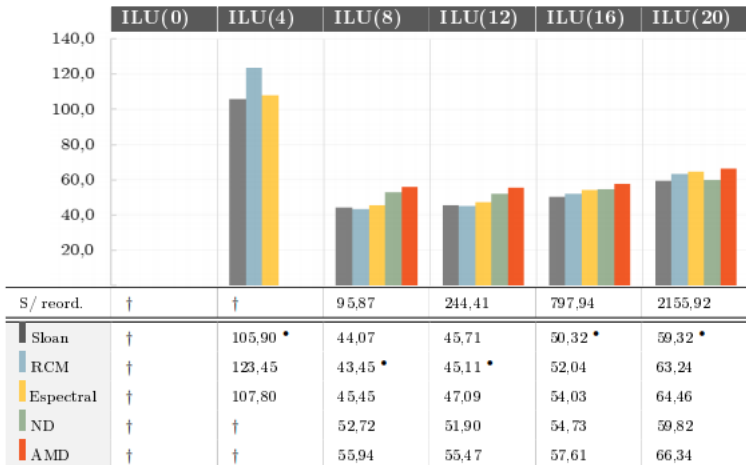


Precondicionador ILU(k) - Matriz thermomech_TK - GMRES(150)



Número de Iterações

Precondicionador ILU(k) - Matriz thermomech_TK - GMRES(150)



Tempo de Processamento

- $M^{-1}A$ deve ser simétrica definida positiva.
- **Condição:** Deve existir uma matriz E , tal que $M = EE^T - E$ pode ser obtida através da fatoração de Cholesky, para tal M deve ser simétrica definida positiva:

$$\begin{aligned}
 Ax &= b \\
 &\Downarrow \\
 E^{-1}AE^{-T}E^Tx &= E^{-1}b \\
 &\Downarrow \\
 \tilde{A}\tilde{x} &= \tilde{b}
 \end{aligned}$$

onde

$$\begin{aligned}
 \tilde{A} &= E^{-1}AE^{-T} \\
 \tilde{x} &= E^Tx \\
 \tilde{b} &= E^{-1}b
 \end{aligned}$$

- $E^{-1}AE^{-T}$ é simétrica definida positiva

$$\begin{aligned}
 \tilde{r}_i &= \tilde{b}_i - \tilde{A}\tilde{x}_i \\
 &= E^{-1}b - E^{-1}AE^{-T}E^Tx \\
 &= E^{-1}r_i
 \end{aligned}$$

Similarmente:

$$\begin{aligned}
 \tilde{d}_i &= E^T d_i \\
 \tilde{x}_i &= E^T x_i
 \end{aligned}$$

Observando que $E^{-T}E^{-1} = M^{-1}$, temos:

$$d_0 = M^{-1}r_0 \quad \lambda_i = \frac{r_i^T M^{-1} r_i}{d_i^T A d_i} \quad \beta_{i+1} = \frac{r_{i+1}^T M^{-1} r_{i+1}}{r_i^T M^{-1} r_i} \quad d_{i+1} = M^{-1}r_{i+1} + \beta_{i+1}d_i$$

Dados $x_0 = 0$, A , b , M , N_{max} , tol_ϵ

$$r_0 = b, d_0 = M^{-1}r_0$$

$$\delta_{new} = r_0^T d_0$$

$$\delta_0 = \delta_{new}, i = 0$$

while $\delta_{new} > tol_\epsilon^2 \delta_0$ **and** $i \leq N_{max}$ **do**

$$v_i = Ad_i$$

$$\lambda_i = \frac{\delta_{new}}{d_i^T v_i}$$

$$x_{i+1} = x_i + \lambda_i d_i$$

$$r_{i+1} = r_i - \lambda_i v$$

$$\delta_{old} = \delta_{new}$$

$$s = M^{-1}r_{i+1}$$

$$\delta_{new} = r_{i+1}^T s$$

$$\beta_{i+1} = \frac{\delta_{new}}{\delta_{old}}$$

$$d_{i+1} = s + \beta_{i+1} d_i$$

$$i = i + 1$$

end while

Precondicionamento no Octave

```
[x,flag,relres,iter,resvec] = gmres(A,b,k,rtol,maxit,M1,M2)
```

- A: Matriz dos coeficientes;
- b: Vetor dos termos independentes;
- k: Número de vetores para o *restart*;
- rtol: Tolerância relativa;
- maxit: número máximo de ciclos;
- M1,M2: matrizes que definem o precondicionamento
 $M1^{-1}AM2^{-1}M2x = M1^{-1}b$ ou
- P: matriz que define o precondicionamento $(M1 * M2)^{-1}Ax = (M1 * M2)^{-1}b$
- x: vetor solução aproximada;
- flag: 0 - convergência atingida; 1 - n. máx. iter.; 3 - estagnação do resíduo
- relres: valor final do resíduo relativo
- iter: vetor contendo o número de ciclos (iter(1,1)) e o número de iterações do último ciclo (iter(1,2))
- resvec: vetor contendo o resíduo relativo em cada iteração

Gradiente Conjugado no Octave

```
[x,flag,relres,iter,resvec] =  
pcg(A,b,tol,maxit,M1,M2)
```

- A: Matriz dos coeficientes simétrica definida positiva;
- b: Vetor dos termos independentes;
- tol: Tolerância relativa;
- maxit: número máximo de iterações;
- M1,M2: matrizes que definem o precondicionamento
 $M_1^{-1}AM_2^{-1}M_2x = M_1^{-1}b$ ou
- P: matriz que define o precondicionamento $(M_1 * M_2)^{-1}Ax = (M_1 * M_2)^{-1}b$
- x: vetor solução aproximada;
- flag: 0 - convergência atingida; 1 - número máximo de iterações atingido; 3 - estagnação do resíduo
- relres: valor final do resíduo relativo
- iter: número de iterações executadas
- resvec: vetor contendo o resíduo relativo em cada iteração